

4 滑坡治理设计与稳定性分析

4.1 滑坡治理原则

K243 滑坡新生工程滑坡为中型滑坡,古滑坡为巨型滑坡,公路以路堑型式通过滑坡前部,新生工程滑坡危害程度为严重,古滑坡危害程度为特严重;沿江公路等级为三级公路,且位于黄登水电站库区,滑坡防治安全等级按Ⅱ级考虑。沿江公路从古滑坡前缘部位通过,不具备路线改移绕避条件,对滑坡进行综合治理。滑坡治理按永久性防护工程考虑,本着安全可靠、技术可行、经济合理、动态设计的原则,充分考虑黄登水电站库区水位变化对滑坡稳定性的影响,确保库区沿江公路路基整体稳定。

4.2 滑坡治理措施

K243 滑坡综合考虑采取多排抗滑桩分级支挡,经多方案计算分析论证,采用双排刚架抗滑桩、锚索桩板墙、填土反压、混凝土挡墙、浆砌片石护坡、植物防护和截排水等措施进行综合治理,滑坡治理平面布置和主剖面设计如图 7 和图 8 所示。

4.2.1 路基右侧治理措施

在沿江公路路基右侧布设桩径 $D=1.8\text{ m}$ 的双排圆形截面抗滑桩,桩间距为 $5\sim6\text{ m}$,前后排桩间

距 5 m 呈品字型布置,桩顶设冠梁纵横向连接,形成双排刚架抗滑桩,前排桩顶至护坡间设现浇挡土板;冠梁 1 m 处设 6×15.24 型预应力锚索,锁定荷载为 600kN ;坡脚设高度 3.5 m 的 C25 混凝土挡土墙,墙顶至抗滑桩间采用 30 cm 厚的 M10 浆砌片石护坡,预留泄水孔。小里程方向设置 $2.0\times2.5\text{ m}$ 锚索抗滑桩,大里程方向布设高 4 m 的 C20 片石砼抗滑挡墙。坡面上设置仰斜排水孔,长度为 $10\sim20\text{ m}$,孔间距为 4 m 。对坡面采用乔灌草混合植物防护。对坡面裂缝用黏土进行封闭,沿通村路设多条排水沟截排地表水。

4.2.2 路基下方治理措施

在路基左侧下方老路内侧布设 $2.0\times3.0\text{ m}$ 锚索抗滑桩,桩间距为 $5\sim6\text{ m}$,距桩顶 1 m 、 4 m 处设两排 6×15.24 型预应力锚索,设置桩后预制挡土板。板后填土反压形成路堤,第一级边坡坡率为 $1:1.5$,高度为 9.1 m ,第二级坡率为 $1:2$,高为 8 m ,边坡间设置 2 m 宽平台, 1622 m 高程以下采用透水性材料填筑。

4.3 滑坡治理设计分析

结合 K243 滑坡治理主剖面设计,运用 GEO5 软件中抗滑桩设计模块进行计算分析,建立双排圆

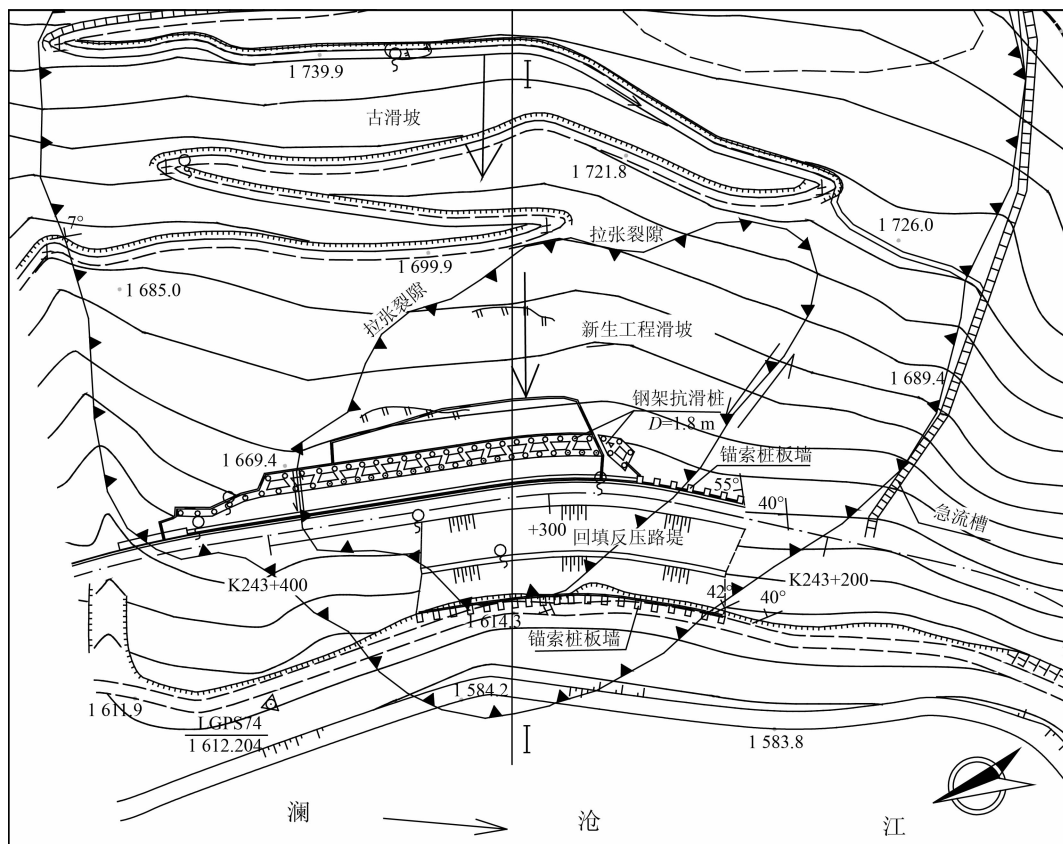


图 7 滑坡治理工程布置平面

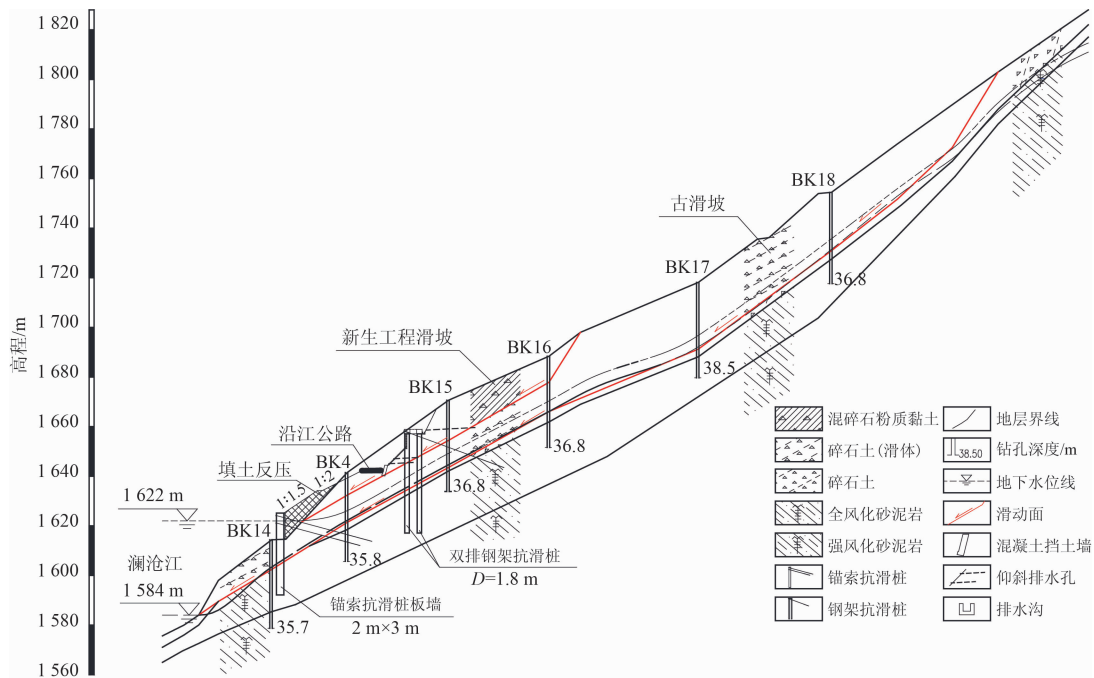


图8 滑坡治理主剖面设计断面

截面抗滑桩和锚索抗滑桩模型,根据其所受荷载,分析其变形、抗剪承载力、抗弯承载力和嵌固端岩土体的承载力,并进行配筋校核;锚索施加在抗滑桩上,推力通过作用在抗滑桩上锚索传递到稳定地层中,计算模型如图9所示。

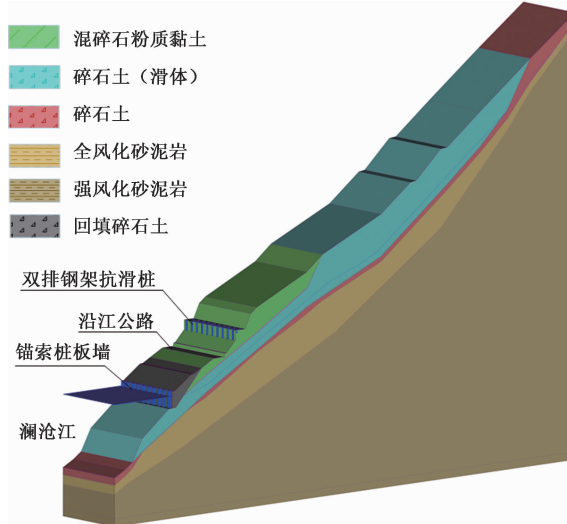


图9 滑坡计算模型3D视图

4.3.1 双排刚架抗滑桩计算分析

新生工程滑坡双排桩按设计推力值进行验算,由验算结果图10和图11可知,前排桩剪力最大值为735.82 kN/m,弯矩最大值为2 494.73 kN·m/m,位移最大值为38.18 mm;后排桩剪力最大值为743.18 kN/m,弯矩最大值为2 575.22 kN·m/m,位移最大值为38.53 mm,滑面处结构位移为9.1 mm。

古滑坡按设计推力值适当折减进行验算,前排桩剪力最大值为878.57 kN/m,弯矩最大值为4 360.15 kN·m/m;后排桩剪力最大值为519.48 kN/m,弯矩最大值为2 292.65 kN·m/m,滑面处结构位移为3.2 mm。

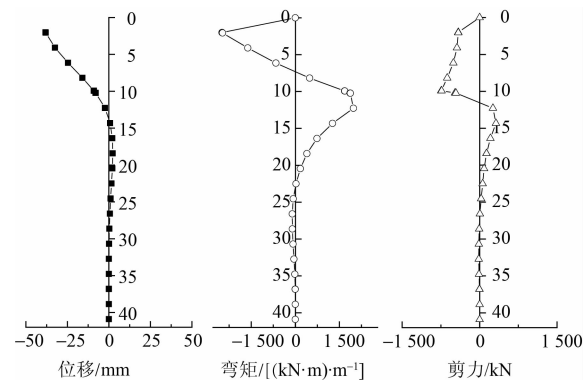


图10 前排桩内力

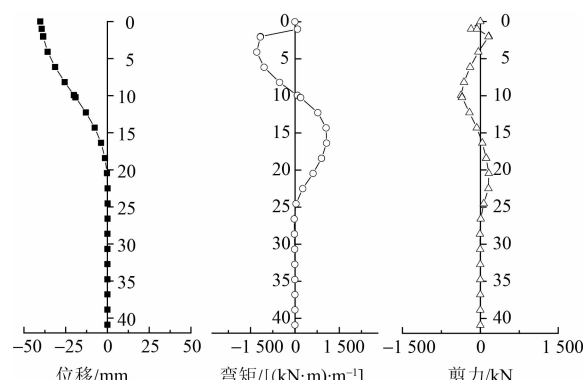


图11 后排桩内力

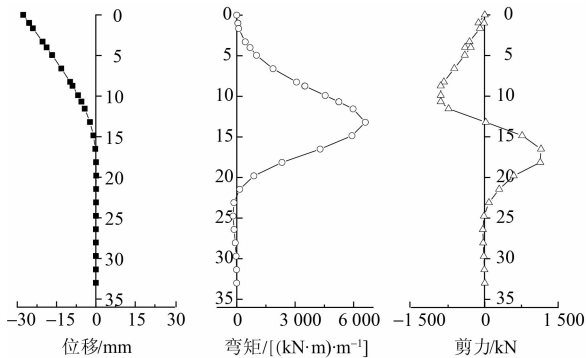


图 12 锚索抗滑桩内力

4.3.2 锚索抗滑桩计算分析

新生工程滑坡锚索抗滑桩按设计推力值进行验算,设计时考虑桩后主动土压力,而古滑坡分段设计推力值较小。由验算结果图 12 可知,桩身剪力最大值为 1 204.98 kN/m,弯矩最大值为 6 606.15 kN·m/m,位移最大值为 27.7 mm,滑面处结构位移为 8.9 mm。

4.4 滑坡治理稳定性分析

K243 滑坡治理稳定性分析考虑施工前、锚索桩板墙+填土反压、双排抗滑桩、桩前路堑开挖 4 m、路堑全部开挖完成等 5 个不同施工过程,在高水位条件下按正常工况、非正常工况 I、非正常工况 II 等三种工况,对滑坡治理施工前后整体稳定性评价。图 13 为新生工程滑坡稳定性计算简图。

由图 14 可知,新生工程滑坡非正常工况 I 时,在锚索抗滑桩+填土反压施工完成后稳定系数为 1.08,双排抗滑桩施工完成后为 1.22,路堑开挖完成后达到 1.28,治理完成后滑坡稳定系数提高约

32.0%;滑坡施工完成后整体稳定性正常工况时为 1.33,非正常工况 II 时为 1.19,滑坡稳定系数提高分别为 30.8%、23.2%,均满足滑坡设计稳定系数。而古滑坡施工完成后在正常工况、非正常工况 I、非正常工况 II 下稳定系数分别为 1.29、1.20 和 1.12,滑坡稳定性提高比例分别为 15.6%、15.8% 和 13.1%。综合分析认为,K243 滑坡治理稳定性满足规范要求,新生工程滑坡在不同施工过程稳定性提高较快,而古滑坡相对平缓。

5 滑坡治理效果评价

K243 滑坡是澜沧江沿江公路规模和治理投资较大的典型滑坡,治理施工自 2012 年 6 月开始,至 2014 年 12 月底竣工,图 15 为滑坡治理竣工后全景效果。

根据施工过程滑坡变形监测,在下部锚索桩板墙与回填反压实施后,有效地抑制了新生工程滑坡变形;路基右侧双排抗滑桩施工完成,坡体抗力逐渐提高,地表位移减小逐渐趋于稳定。2017 年 11 月 28 日黄登水电站导流洞下闸蓄水,2018 年 8 月 17 日水库蓄水至正常蓄水位 1 619.00 m,双排刚架抗滑桩与锚索抗滑桩受力稳定正常,路面稳定;2022 年 1 月,经现场排查滑坡整体无变形迹象,图 16 为库区蓄水运营后滑坡全景。因此,沿江公路 K243 滑坡治理是成功的,对新生工程滑坡重点治理的同时兼顾古滑坡治理,有效保障沿江公路运营安全,积累了较为可靠的成功经验。

6 结论

通过对库区公路 K243 滑坡的成因机制及治理措施的研究,得出以下结论。

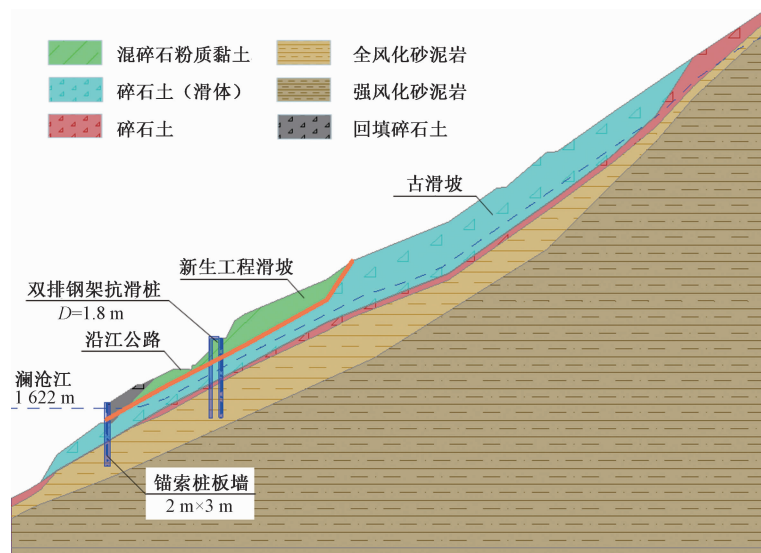


图 13 新生工程滑坡稳定性计算

- 机理及稳定性[J]. 科学技术与工程,2022,22(7):2634-2640.
- [18] 李厚芝,叶霄,朱鸿鹄,等.三峡库区大坡滑坡成因机制分析及稳定性评价[J]. 科学技术与工程,2022,22(25):10876-10883.

The Formation Mechanism and Treatment Measures of K243 Landslide on Highway in Reservoir Area

WANG Youchang

(Kunming Survey & Design Institute of National Forestry and Grassland Administration, Kunming 650031, China)

Abstract: Based on the example of landslide project K243 along the river road in the reservoir area of Lancang River Huangdeng Hydropower Station, the study was conducted on the formation mechanism, deformation and failure mode, and treatment measures of the freshman engineering landslide and the ancient landslide, and the stable condition and residual sliding force of the landslide under the combination of multiple working conditions. The GEO5 software was used to establish the landslide model and analyze the changes in the internal force and displacement of the anti-slip pile, as well as the variation in the landslide stability during different treatment construction processes. The results show that the K243 landslide is effectively managed by using the double-row rigid frame anti-slide pile, anchored sheet pile wall, filling earth counter pressure, and water interception and drainage measures. The shearing force and bending moment of the back row pile of the freshman engineering landslide are greater than front row pile, and the displacement of pile top of the back row pile is greater than that of the front row pile, while the shearing force and displacement of the front row piles of the ancient landslide are greater than that of back row pile. The percentage increase in the stability coefficient of the freshman engineering landslide during different construction processes is approximately double that of the ancient landslide. The K243 landslide treatment has proved to be successful and can provide a reference for the analysis and treatment of road landslides in the reservoir area.

Keywords: highway in reservoir region; ancient landslide; genesis mechanism; double-row rigid frame anti-slide pile; treatment measures